

Лазерный гироскоп с четырехзеркальным квадратным резонатором: формулы для моделирования динамики параметров зоны синхронизации частот встречных волн при работе прибора в режиме самопрогрева

Е.А.Бондаренко

Для лазерного гироскопа с четырехзеркальным квадратным резонатором разработана расчетная математическая модель, которая позволяет смоделировать поведение во времени параметров зоны синхронизации частот встречных волн в ситуации, когда прибор работает в режиме самопрогрева, причем его включение осуществляется при разных начальных температурах.

Ключевые слова: лазерный гироскоп, кольцевой газовый лазер, синхронизация частот встречных волн.

1. Введение

Среди основных типов лазерных гироскопов (ЛГ), широко применяемых на практике, можно выделить прибор на базе кольцевого газового He–Ne-лазера (отношение концентраций изотопов $^{20}\text{Ne} : ^{22}\text{Ne} = 1:1$) с плоским N -зеркальным ($N = 3, 4$) резонатором, обеспечивающим генерацию линейно поляризованного в сагиттальной плоскости излучения. Накачка лазера, работающего, как правило, на длине волны $\lambda = 0.6328$ мкм, осуществляется разрядом постоянного тока по симметричной схеме один катод – два анода [1–3].

Согласно соотношениям (5.55)–(5.57) из работы [3], а также выражениям (6.45)–(6.47) из работы [4], при сбалансированности токов в плечах разряда, точной настройке резонатора на центр линии излучения и одинаковых потерях систему уравнений, описывающих динамику безразмерных интенсивностей I_j ($j = 1, 2$) и разности фаз ψ встречных волн (ВВ) такого ЛГ, можно представить в виде

$$\begin{aligned} \dot{I}_1 &= (\alpha - \beta I_1 - \theta I_2) I_1 - 2r_2 \sqrt{I_1 I_2} \cos(\psi + \varepsilon_2), \\ \dot{I}_2 &= (\alpha - \beta I_2 - \theta I_1) I_2 - 2r_1 \sqrt{I_1 I_2} \cos(\psi - \varepsilon_1), \\ \dot{\psi} &= M\Omega + r_2 \sqrt{I_2/I_1} \sin(\psi + \varepsilon_2) + r_1 \sqrt{I_1/I_2} \sin(\psi - \varepsilon_1). \end{aligned} \quad (1)$$

При выводе этих уравнений учтено, что волна с индексом $j = 1$ распространяется в направлении вращения ЛГ. В системе (1) α, β, θ – коэффициенты Лэмба, характеризующие свойства активной среды; $M = (1 + K_a)M_g$ – масштабный множитель ЛГ, определяемый в первую очередь своей геометрической составляющей $M_g = 8\pi S/(\lambda L)$, однако учитывающий также и свойства среды посредством мало-

го параметра K_a ; L – периметр осевого контура; S – охватываемая им площадь; Ω – угловая скорость вращения прибора в инерциальном пространстве; r_j и ε_j – модули и аргументы комплексных интегральных коэффициентов $r_j \exp(i\varepsilon_j)$ линейной связи ВВ, характеризующих их взаимодействие через обратное рассеяние излучения на зеркалах, а также поглощение и пропускание его зеркалами.

В работе [5] на основе анализа системы (1) были получены формулы для расчета параметров зоны синхронизации частот генерируемых в ЛГ встречных электромагнитных волн. Такими параметрами являются координаты $\Omega_{(-)}$ и $\Omega_{(+)}$ соответственно левой и правой границ зоны синхронизации на оси угловой скорости Ω , координата ее центра $\Omega_{(0)} = (\Omega_{(+)} + \Omega_{(-)})/2$ и полуширина этой зоны $\Omega_s = (\Omega_{(+)} - \Omega_{(-)})/2$. Полученные в [5] соотношения дополняют результаты ранее выполненных теоретических работ [3, 6–13] и имеют вид

$$\begin{aligned} \Omega_{(\pm)} &= \pm \frac{\sqrt{r_p^2 + \mu^2 r_m^2 \pm 2\mu(r_2^2 - r_1^2)}}{\sqrt{1 - \mu^2 M}}, \\ \Omega_{(0)} &= \frac{\sqrt{r_p^2 + \mu^2 r_m^2 + 2\mu(r_2^2 - r_1^2)} - \sqrt{r_p^2 + \mu^2 r_m^2 - 2\mu(r_2^2 - r_1^2)}}{2\sqrt{1 - \mu^2 M}}, \\ \Omega_s &= \frac{\sqrt{r_p^2 + \mu^2 r_m^2 + 2\mu(r_2^2 - r_1^2)} + \sqrt{r_p^2 + \mu^2 r_m^2 - 2\mu(r_2^2 - r_1^2)}}{2\sqrt{1 - \mu^2 M}}. \end{aligned} \quad (2)$$

С учетом реализующегося на практике условия $|r_2 - r_1| \ll (r_1 + r_2)/2$ (см., напр., [3]) выражения (2) можно приближенно записать в более компактной форме:

$$\begin{aligned} \Omega_{(\pm)} &= \Omega_{(0)} \pm \Omega_s, \\ \Omega_{(0)} &= \frac{\mu(r_2^2 - r_1^2)}{\sqrt{(1 - \mu^2)(r_p^2 + \mu^2 r_m^2) M}}, \\ \Omega_s &= \frac{\sqrt{r_p^2 + \mu^2 r_m^2}}{\sqrt{1 - \mu^2 M}}, \end{aligned} \quad (3)$$

где

Е.А.Бондаренко. Национальный технический университет Украины «Киевский политехнический институт», Украина, 03056 Киев, просп. Победы, 37, корп. 28; e-mail: ea_bndrkn@ukr.net

Поступила в редакцию 16 августа 2013 г., после доработки – 14 ноября 2013 г.

$$r_p = \sqrt{r_1^2 + r_2^2 + 2r_1r_2 \cos \varepsilon_{12}}; \quad r_m = \sqrt{r_1^2 + r_2^2 - 2r_1r_2 \cos \varepsilon_{12}};$$

$$\varepsilon_{12} = \varepsilon_1 + \varepsilon_2; \quad \mu = \frac{2r_1r_2 \sin \varepsilon_{12}}{\alpha_m r_p} \quad (|\mu| < 1); \quad (4)$$

$$\alpha_m = \alpha_p \frac{1-h}{1+h}; \quad \alpha_p = \alpha = \frac{c}{L}(g - \Gamma); \quad h = \frac{\theta}{\beta}.$$

Здесь r_p и r_m – комбинации параметров линейной связи ВВ; α_p и α_m – обратные времена релаксации соответственно суммы и разности интенсивностей ВВ; g – линейное ненасыщенное усиление активной среды; Γ – резонаторные потери за один проход; h – параметр, зависящий от суммарного давления смеси He–Ne [14]; μ – величина, характеризующая влияние усиления активной среды на параметры зоны синхронизации. (Выражения (2) и (3) справедливы при выполнении условия слабой связи ВВ, которое предполагает, что во всем диапазоне используемых в ЛГ рабочих токов разряда отношения r_p/α_p и r_m/α_m остаются намного меньшими единицы. В современных приборах, работающих при достаточно больших превышениях мощностью накачки порогового значения [3], указанное условие, как правило, выполняется.)

На этапе проектирования ЛГ при разработке, например, методик его испытаний в термокамере, актуальной является задача создания расчетной математической модели, которая позволила бы смоделировать поведение во времени параметров $\Omega_{(-)}$, $\Omega_{(+)}$, $\Omega_{(0)}$, Ω_s зоны синхронизации частот ВВ прибора в ситуации, когда он включается при разных значениях начальной температуры и после этого работает в режиме самопрогрева.

В известной автору литературе такая задача детально не рассматривалась, поэтому ее решение и является целью настоящей статьи. Приведенные ниже данные могут служить дополнением к результатам ранее выполненным в этой области работ [11, 15–22].

2. Описание ЛГ

Следуя работе [3], в качестве примера выберем ЛГ с четырехзеркальным квадратным резонатором, имеющим номинальную длину плеча $l = 50$ мм и периметр $L = 4l = 200$ мм. Согласно [3] такой прибор характеризуется полушириной зоны синхронизации $\Omega_s \approx 0.05$ град/с. Дуговая цена его импульса q_θ (разрешающая способность ЛГ по углу) составляет $2.61''$, а геометрический масштабный множитель $M_g = 496459$. Гироскоп работает при суммарном давлении He–Ne-смеси 6.5 Тор и пятикратном превышении усилением g потерь Γ (т.е. параметр относительного возбуждения $N_{rel} = g/\Gamma = 5$). Чтобы не приводить (вместе с комментариями) громоздких формул для расчета малого параметра K_a , а также выражений для оценки величин β и θ , положим $M = M_g = 496459$ и, кроме того, зададим $h = 0.652$.

Указанный ЛГ в качестве объекта исследования был рассмотрен в работе [23] при изучении зависимости параметров $\Omega_{(-)}$, $\Omega_{(+)}$, $\Omega_{(0)}$, Ω_s зоны синхронизации частот ВВ от усиления g активной среды. Из этой работы мы и позаимствуем все необходимые для описания данные.

Итак, следуя [23], будем считать, что резонатор рассматриваемого ЛГ образован двумя плоскими сигнальными зеркалами (Z_1 , Z_2) и двумя установленными на пьезокорректорх сферическими зеркалами (Z_3 , Z_4) с радиусами кривизны $R = 1000$ мм (зеркала нумеруются по часовой стрелке). Для плоских зеркал Z_1 и Z_2 заданы следующие энергетические параметры: интегральный коэффициент светорассеяния K_{scat}^f в полный телесный угол 4π ср, коэффициент потерь на поглощение Γ_{absorp}^f и коэффициент полезных потерь на пропускание Γ_{transm}^f . Для сферических зеркал Z_3 и Z_4 заданы интегральный коэффициент светорассеяния K_{scat}^s и коэффициент потерь на поглощение Γ_{absorp}^s . Пусть, кроме того, заданы также дифракционные потери, обусловленные наличием в резонаторе ЛГ апертурной диафрагмы. Тогда суммарные потери Γ гироскопа можно рассчитать по формулам

где Γ_{mirr} – потери на зеркалах; Γ_{diff} – дифракционные потери. Так же, как и в [23], примем $K_{scat}^f = 5 \times 10^{-6}$, $\Gamma_{absorp}^f = 55 \times 10^{-6}$, $\Gamma_{transm}^f = 60 \times 10^{-6}$, $K_{scat}^s = 10 \times 10^{-6}$, $\Gamma_{absorp}^s = 50 \times 10^{-6}$. Тогда $\Gamma_{mirr} = 360 \times 10^{-6}$. Кроме того, зададим $\Gamma_{diff} = 40 \times 10^{-6}$. В результате получим $\Gamma = 400 \times 10^{-6}$.

$$\Gamma = \Gamma_{mirr} + \Gamma_{diff}, \quad (5)$$

$$\Gamma_{mirr} = 2(K_{scat}^f + \Gamma_{absorp}^f + \Gamma_{transm}^f + K_{scat}^s + \Gamma_{absorp}^s),$$

Далее, согласно формуле (7) из [23], применительно к данному резонатору ЛГ для расчета комплексных интегральных коэффициентов $r_j \exp(i\varepsilon_j)$ линейной связи ВВ имеем соотношение

$$\frac{L}{c} r_j \exp(i\varepsilon_j) = a_f \left\{ \exp\left[i\left(\frac{\pi}{2} - \chi_f \pm \varphi_1\right)\right] + \exp\left[i\left(\frac{\pi}{2} - \chi_f \pm \varphi_2\right)\right] \right\} + a_s \left\{ \exp\left[i\left(\frac{\pi}{2} - \chi_s \pm \varphi_3\right)\right] + \exp\left[i\left(\frac{\pi}{2} - \chi_s \pm \varphi_4\right)\right] \right\} + b_f [\exp(\pm i\varphi_1) + \exp(\pm i\varphi_2)] + b_s [\exp(\pm i\varphi_3) + \exp(\pm i\varphi_4)], \quad (6)$$

которое описывает результат суммирования по всем четырем зеркалам комплексных локальных коэффициентов связи этих волн. (Здесь и далее верхние арифметические знаки в формулах соответствуют $j = 1$, а нижние $-j = 2$.)

Из выражения (6) вытекают следующие результирующие соотношения для оценки величин r_j и ε_j ($j = 1, 2$):

$$r_j = \frac{c}{L} \sqrt{A_j^2 + B_j^2}, \quad \varepsilon_j = \frac{\pi}{2} - \arctan \frac{A_j}{B_j}, \quad (7)$$

где

$$A_j = a_f [\sin(\chi_f \mp \varphi_1) + \sin(\chi_f \mp \varphi_2)] + a_s [\sin(\chi_s \mp \varphi_3) + \sin(\chi_s \mp \varphi_4)] + b_f (\cos \varphi_1 + \cos \varphi_2) + b_s (\cos \varphi_3 + \cos \varphi_4);$$

$$B_j = a_f [\cos(\chi_f \mp \varphi_1) + \cos(\chi_f \mp \varphi_2)] + a_s [\cos(\chi_s \mp \varphi_3) + \cos(\chi_s \mp \varphi_4)] \pm b_f (\sin \varphi_1 + \sin \varphi_2) \pm b_s (\sin \varphi_3 + \sin \varphi_4).$$

В выражениях (8) фигурируют две группы параметров. Параметры первой группы – a_f , χ_f , b_f и a_s , χ_s , b_s – характеризуют индивидуальные свойства соответственно плоских и сферических зеркал. В частности, a_f и a_s – это модули локальных комплексных безразмерных коэффициентов связи ВВ через обратное рассеяние излучения на плоских и сферических зеркалах; χ_f и χ_s – «углы потерь» на рассеяние на этих зеркалах; b_f – модули локальных комплексных безразмерных коэффициентов связи ВВ через поглощение и пропускание излучения плоскими зер-

калами; b_s – модули локальных комплексных безразмерных коэффициентов связи волн через поглощение сферическими зеркалами. Названные параметры будем считать известными постоянными величинами. На основании формул (8) из работы [23] (которые ради экономии места мы здесь не приводим) при заданных выше характеристиках зеркал для этих величин имеем следующие численные оценки: $a_f = 1.15 \times 10^{-6}$, $a_s = 1.72 \times 10^{-6}$, $\chi_f = 461''$, $\chi_s = 652''$, $b_f = 5.91 \times 10^{-8}$, $b_s = 2.72 \times 10^{-8}$.

Параметры же второй группы в выражениях (8) – фазовые углы φ_n ($n = 1, \dots, 4$) – описывают влияние изменения геометрии осевого контура [24, 25] резонатора ЛГ при включении прибора и его последующей работе в режиме самопрогрева. Эти величины пока неизвестны. Забегая вперед, отметим лишь, что в указанных условиях они будут изменяться во времени (что, в свою очередь, приведет к девиациям параметров зоны синхронизации $\Omega_{(-)}$, $\Omega_{(+)}$, $\Omega_{(0)}$, Ω_s). Поэтому для решения указанной задачи необходимо получить для расчета φ_n соответствующие формулы.

3. Дополнительные сведения, требующиеся для постановки задачи

В этом разделе мы введем в рассмотрение все необходимые для формулирования задачи физические величины, дадим им определения и приведем численные оценки. Остановимся также и на обстоятельствах включения ЛГ, в частности, входящей в его состав автоматической экстремальной системы регулирования периметра (СРП).

Пусть при фиксированной базовой температуре $T_{q\lambda}$ моноблока ЛГ (например, при $T_{q\lambda} = 25^\circ\text{C}$) на периметре L осевого контура его резонатора укладывается целое (четное или нечетное) число q длин волн λ , т. е.

$$L = L_{q\lambda} = q\lambda = 4l. \quad (9)$$

Пусть при нагревании моноблока ЛГ на ΔT_λ градусов относительно базового значения $T_{q\lambda}$ периметр осевого контура резонатора прибора увеличится (при выключенной СРП) на величину ΔL_λ , равную одной длине волны λ , т. е.

$$\Delta L_\lambda = \lambda = L K_{TE} \Delta T_\lambda. \quad (10)$$

Здесь K_{TE} – коэффициент относительного линейного температурного расширения материала, из которого изготовлен моноблок ЛГ. Будем считать, что в качестве такого материала выступает оптическое стекло марки Zerodur [3] (см. с. 3-7), для которого согласно данным работы [2] (см. с. 95) параметр $K_{TE} \approx 5.27 \times 10^{-8} 1/^\circ\text{C}$. Не внося большой ошибки, ниже в расчетах мы примем $K_{TE} = 6.328 \times 10^{-8} 1/^\circ\text{C}$, что позволит оперировать более удобным для анализа округленным значением $\Delta T_\lambda = 50^\circ\text{C}$, которое (при заданном $L = 200$ мм) можно найти из (10). Параметр ΔT_λ по его физическому смыслу удобно определить как межмодовый температурный интервал ЛГ.

Пусть текущая температура T моноблока ЛГ изменяется во времени t согласно закону

$$T = T_{\text{ini}} + \Delta T_{\text{sw}}(t), \quad T_{\text{ini}} = T_{q\lambda} + \Delta T_{\text{ini}}, \quad (11)$$

$$\Delta T_{\text{sw}}(t) = \Delta T_{\text{sw}}^{\text{max}} [1 - \exp(-t/\tau_{\text{sw}})],$$

где T_{ini} – начальная температура моноблока в момент $t = 0$ включения ЛГ; ΔT_{ini} – начальное приращение температуры моноблока относительно базового значения $T_{q\lambda}$; $\Delta T_{\text{sw}}(t)$ – нарастающее во времени приращение температуры моноблока (относительно T_{ini}) при работе ЛГ в режиме самопрогрева; $\Delta T_{\text{sw}}^{\text{max}}$ – максимальное приращение температуры моноблока после окончания теплового переходного процесса; τ_{sw} – постоянная времени самопрогрева моноблока. Согласно экспериментальным данным работы [3] (см. рис.4.2 на с. 3-17), для рассматриваемого прибора $\Delta T_{\text{sw}}^{\text{max}} = 7^\circ\text{C}$ и, ориентировочно, $\tau_{\text{sw}} = 2400$ с. Эти значения мы и будем использовать ниже в расчетах.

Введенные величины позволяют перейти теперь к рассмотрению обстоятельств включения ЛГ. Итак, пусть включение прибора осуществляется в момент времени $t = 0$. При этом входящая в его состав СРП в соответствии с алгоритмом своей работы с помощью двух установленных на пьезокорректоре управляемых сферических зеркал Z_3 и Z_4 выполнит сначала настройку периметра L осевого контура таким образом, чтобы на нем укладывалось целое число длин волн λ , т. е. обеспечит выполнение резонансного условия

$$L = L_{(q+k)\lambda} = (q+k)\lambda \quad (k=0, \pm 1, \pm 2, \dots), \quad (12)$$

а затем в течение всего времени функционирования гироскопа будет стабилизировать это значение L , непрерывно компенсируя тепловое расширение моноблока. (Примем, что СРП работает без погрешностей и выходит на режим практически мгновенно; ее поисковое движение не учитываем и берем в расчет только рабочее движение, осуществляемое с целью обеспечения максимальной мощности генерации.)

В формуле (12) сумма $q+k$ – результирующий индекс продольной рабочей моды, на которой после начальной отработки СРП будет происходить генерация, а k – «настроечный» индекс, значение которого автоматически «выбирается» или «селектируется» системой таким образом, чтобы обеспечить выполнение двойного неравенства

$$T_{q\lambda} + (k-1/2)\Delta T_\lambda < T_{\text{ini}} \leq T_{q\lambda} + (k+1/2)\Delta T_\lambda. \quad (13)$$

Так, например, при заданных выше параметрах $T_{q\lambda} = 25^\circ\text{C}$, $\Delta T_\lambda = 50^\circ\text{C}$ и начальной температуре T_{ini} моноблока ЛГ из интервала $1-50^\circ\text{C}$ индекс k будет автоматически «выбран» системой равным нулю, а вот уже для значений T_{ini} из следующего интервала $51-100^\circ\text{C}$ – равным единице. Другими словами, в зависимости от начальной температуры, в первом случае генерация будет осуществляться на q -й продольной моде, когда $L = L_{q\lambda} = q\lambda$, а во втором случае – на $(q+1)$ -й моде, когда $L = L_{(q+1)\lambda} = (q+1)\lambda$.

Строго говоря, значение M_g геометрического масштабного множителя рассматриваемого ЛГ при работе на q -й продольной моде будет несколько отличаться от соответствующего ему значения при работе на $(q+1)$ -й моде. Однако такое отличие весьма незначительно и поэтому ниже мы учитывать его не будем.

При решении задачи будем полагать, что материал, из которого изготовлен моноблок ЛГ, является однородным и изотропным, а сами тепловые деформации моноблока имеют место только в осевой плоскости резонатора прибора.

4. Постановка и решение задачи

Для рассматриваемого ЛГ требуется получить с учетом (9)–(13) такие выражения для величин φ_n ($n = 1, \dots, 4$), фигурирующих в формулах (7), (8) для r_j и ε_j ($j = 1, 2$), которые совместно с исходными соотношениями (3), (4) позволили бы смоделировать поведение во времени параметров $\Omega_{(-)}$, $\Omega_{(+)}$, $\Omega_{(0)}$, Ω_s зоны синхронизации частот ВВ в ситуации, когда прибор работает в режиме самопрогрева, причем его включение осуществляется при разных начальных температурах.

Для расчета величин φ_n воспользуемся соотношением (9) из [23]:

$$\varphi_n = \frac{4\pi}{\lambda} S_n. \quad (14)$$

Здесь S_n – измеренное вдоль осевого контура (по часовой стрелке) расстояние между отсчетной плоскостью (расположенной в начале координат) и центром зеркала Z_n . Начало координат выбирается на поверхности зеркала Z_1 в точке, в которой находится центр светового пятна гауссова пучка (именно в этой точке осевой контур соприкасается с поверхностью зеркала Z_1 и «отражается» от нее).

Для оценки величин S_n в (14) применим формулу (10) из [23]:

$$S_n = -t_n \sin \theta_n + \sum_{m=1}^n L_{m-1}^{(m)}, \quad (15)$$

где $L_0^{(1)} \equiv 0$, а $L_{m-1}^{(m)}$ ($m = 2, 3, 4$) – длина плеча резонатора ЛГ между зеркалами Z_{m-1} и Z_m (представляет собой измеренное вдоль осевого контура расстояние между центрами световых пятен гауссова пучка на поверхностях этих зеркал); t_n – смещение центра светового пятна гауссова пучка на поверхности зеркала Z_n относительно его центра (отсчитывается в осевой плоскости вправо); θ_n – половина угла между плечами резонатора ЛГ при зеркале Z_n (в данном случае $\theta_n = \pi/4$). Из (15) следуют соотношения:

$$\begin{aligned} S_1 &= -\frac{\sqrt{2}}{2} t_1, \quad S_2 = -\frac{\sqrt{2}}{2} t_2 + L_1^{(2)}, \quad S_3 = -\frac{\sqrt{2}}{2} t_3 + L_1^{(2)} + L_2^{(3)}, \\ S_4 &= -\frac{\sqrt{2}}{2} t_4 + L_1^{(2)} + L_2^{(3)} + L_3^{(4)}. \end{aligned} \quad (16)$$

Методики расчета величин t_n и $L_{n-1}^{(m)}$ для плоских N -угольных разбюстированных (т.е. со смещенными зеркалами) резонаторов ЛГ произвольной (в плане) формы, содержащих в общем случае плоскопараллельные пластины в плечах, предложены соответственно в работах [26] и [27]. На основе этих методик применительно к рассматриваемому резонатору ЛГ в ситуации, когда при выключенной СРП все четыре зеркала вследствие теплового расширения моноблока совершают вместе с его посадочными гранями в осевой плоскости линейные, нормальные, направленные наружу перемещения на расстояния w_n , для указанных величин можно получить выражения

$$\begin{aligned} t_1 &= \frac{1}{8-3\xi} [(2-\xi)(w_1-w_3) + (6-2\xi)(w_2-w_4)], \\ t_2 &= \frac{1}{8-3\xi} [(6-2\xi)(-w_1+w_3) + (2-\xi)(-w_2+w_4)], \\ t_3 &= t_4 = \frac{2}{8-3\xi} (w_1-w_2-w_3+w_4) \end{aligned} \quad (17)$$

и

$$L_1^{(2)} = L_3^{(4)} = l + (\sqrt{2}/2)(w_3 + w_4),$$

$$L_2^{(3)} = l + \frac{\sqrt{2}/2}{8-3\xi} [(8-2\xi)w_1 + (8-4\xi)w_2 + \xi(-w_3+w_4)], \quad (18)$$

$$L_4^{(1)} = l + \frac{\sqrt{2}/2}{8-3\xi} [(8-4\xi)w_1 + (8-2\xi)w_2 + \xi(w_3-w_4)],$$

где $\xi = pl$ – малый безразмерный параметр, введенный для сокращения записи; $p = 2(\sqrt{2}/R)$ – оптическая сила каждого из сферических зеркал в осевой плоскости. С учетом $l = 50$ мм, $R = 1000$ мм имеем следующие численные оценки: $p = 0.0028$ мм⁻¹, $\xi = 0.14$.

В результате подстановки выражений (17) и (18) в (16) получаем

$$S_1 = \frac{\sqrt{2}/2}{8-3\xi} [(2-\xi)(-w_1+w_3) + (6-2\xi)(-w_2+w_4)],$$

$$S_2 = l + \frac{\sqrt{2}/2}{8-3\xi} [(6-2\xi)(w_1+w_4) + (2-\xi)(w_2+w_3)],$$

$$S_3 = 2l + \frac{\sqrt{2}/2}{8-3\xi} [(6-2\xi)(w_1+w_4) + (10-4\xi)(w_2+w_3)], \quad (19)$$

$$\begin{aligned} S_4 &= 3l + \frac{\sqrt{2}/2}{8-3\xi} [(6-2\xi)w_1 + (10-4\xi)w_2 \\ &+ (18-7\xi)w_3 + (14-5\xi)w_4]. \end{aligned}$$

Для того чтобы воспользоваться далее формулами (19), нам потребуется выражение для периметра L осевого контура резонатора ЛГ. Периметр резонатора по определению равен сумме всех длин его плеч, т.е. $L = L_1^{(2)} + L_2^{(3)} + L_3^{(4)} + L_4^{(1)}$. Таким образом, с учетом (9) и (18)

$$L = q\lambda + \Delta L, \quad \Delta L = \sqrt{2}(w_1 + w_2 + w_3 + w_4), \quad (20)$$

где ΔL – приращение периметра, обусловленное линейными нормальными перемещениями w_n всех четырех зеркал резонатора ЛГ вследствие теплового расширения моноблока при повышении его температуры T на ΔT ($\Delta T = T - T_{q\lambda}$) градусов относительно базового значения $T_{q\lambda}$.

Учитывая, что в рассматриваемом резонаторе ЛГ зеркала Z_1 и Z_2 являются сигнальными, а зеркала Z_3 и Z_4 установлены на пьезокорректорах и управляются СРП, представим величины w_n в (20) в следующем развернутом виде:

$$\begin{aligned} w_1 &= w_2 = h_{\Delta T}, \quad w_3 = h_{\Delta T} - w + h_{PCS}, \\ w_4 &= h_{\Delta T} + w + h_{PCS}. \end{aligned} \quad (21)$$

Здесь $h_{\Delta T}$ – перемещение каждого зеркала Z_n вместе с посадочной гранью моноблока вследствие приращения ΔT температуры; w – задаваемые [23] с целью начальной настройки параметров r_j , ε_j линейной связи ВВ встречнонаправленные смещения зеркал Z_3 и Z_4 (зеркало Z_4 выдвигается из резонатора на расстояние w , а зеркало Z_3 – наоборот – вдвигается в резонатор на точно такое же расстояние); h_{PCS} – управляемые СРП одинаково направленные перемещения зеркал Z_3 и Z_4 .

Чтобы в явном виде определить закон изменения величин h_{PCS} в ситуации, когда СРП включается и работает в штатном режиме, подставим (21) в (20):

$$L = q\lambda + \sqrt{2}(4h_{\Delta T} + 2h_{\text{PCS}}). \quad (22)$$

Сравнивая (22) с выражением (12), отображающим в математической форме задачу, решение которой должна обеспечивать СРП, получаем

$$(q+k)\lambda = q\lambda + \sqrt{2}(4h_{\Delta T} + 2h_{\text{PCS}}), \quad (23)$$

откуда

$$h_{\text{PCS}} = \frac{\sqrt{2}}{4}k\lambda - 2h_{\Delta T}. \quad (24)$$

Тогда, в результате подстановки (24) в (21) находим уточненные соотношения для w_n , которые уже учитывают факт штатной работы СРП:

$$\begin{aligned} w_1 = w_2 = h_{\Delta T}, \quad w_3 = \frac{\sqrt{2}}{4}k\lambda - h_{\Delta T} - w, \\ w_4 = \frac{\sqrt{2}}{4}k\lambda - h_{\Delta T} + w. \end{aligned} \quad (25)$$

С учетом (25) выражения (19) принимают вид

$$\begin{aligned} S_1 &= \frac{k\lambda}{4} - \sqrt{2}h_{\Delta T} + \frac{\sqrt{2}}{2} \frac{4-\xi}{8-3\xi} w, \\ S_2 &= l + \frac{k\lambda}{4} + \frac{\sqrt{2}}{2} \frac{4-\xi}{8-3\xi} w, \\ S_3 &= 2l + \frac{k\lambda}{2} - \frac{\sqrt{2}}{2} \frac{4-2\xi}{8-3\xi} w, \\ S_4 &= 3l + k\lambda - \sqrt{2}h_{\Delta T} - \frac{\sqrt{2}}{2} \frac{4-2\xi}{8-3\xi} w. \end{aligned} \quad (26)$$

В соотношения (26) входит номинальная длина плеча l резонатора ЛГ. На основании (9) имеем $l = q\lambda/4$. Подставляя это выражение в (26), а затем (26) в (14), находим

$$\begin{aligned} \varphi_1 &= \pi k - 4\pi \frac{\sqrt{2}h_{\Delta T}}{\lambda} + 2\pi \frac{4-\xi}{8-3\xi} \frac{\sqrt{2}w}{\lambda}, \\ \varphi_2 &= \pi(q+k) + 2\pi \frac{4-\xi}{8-3\xi} \frac{\sqrt{2}w}{\lambda}, \\ \varphi_3 &= 2\pi(q+k) - 2\pi \frac{4-2\xi}{8-3\xi} \frac{\sqrt{2}w}{\lambda}, \\ \varphi_4 &= 3\pi q + 4\pi k - 4\pi \frac{\sqrt{2}h_{\Delta T}}{\lambda} - 2\pi \frac{4-2\xi}{8-3\xi} \frac{\sqrt{2}w}{\lambda}. \end{aligned} \quad (27)$$

Формулы (27) можно упростить, если опустить в выражении для φ_3 слагаемое $2\pi(q+k)$, а в соотношении для φ_4 отбросить $4\pi k$ и заменить $3\pi q$ на πq . В результате получаем

$$\varphi_1 = \pi k - 4\pi \frac{\sqrt{2}h_{\Delta T}}{\lambda} + \varphi_f,$$

$$\varphi_2 = \pi(q+k) + \varphi_f, \quad \varphi_3 = \varphi_s, \quad (28)$$

$$\varphi_4 = \pi q - 4\pi \frac{\sqrt{2}h_{\Delta T}}{\lambda} + \varphi_s,$$

где

$$\varphi_f = 2\pi \frac{4-\xi}{8-3\xi} \frac{\sqrt{2}w}{\lambda}, \quad \varphi_s = -2\pi \frac{4-2\xi}{8-3\xi} \frac{\sqrt{2}w}{\lambda} \quad (29)$$

– введенные в работе [23] фазовые углы, зависящие от встречнонаправленных смещений w сферических зеркал Z_3 и Z_4 .

Теперь полученные выражения (28) необходимо дополнить расчетной формулой для $h_{\Delta T}$. С одной стороны, в случае $h_{\text{PCS}} = 0$ (СРП выключена) из соотношения (22) следует, что тепловое приращение периметра, обусловленное приращением ΔT температуры моноблока, составляет $4\sqrt{2}h_{\Delta T}$. С другой стороны, эта же величина равна $q\lambda K_{\text{TE}}\Delta T$. Таким образом, $4\sqrt{2}h_{\Delta T} = q\lambda K_{\text{TE}}\Delta T$, откуда с учетом $\Delta T = T - T_{q\lambda}$ получаем

$$h_{\Delta T} = (\sqrt{2}/8)q\lambda K_{\text{TE}}(T - T_{q\lambda}). \quad (30)$$

В результате, подставляя (30) в (28), окончательно находим

$$\begin{aligned} \varphi_1 &= \pi k - \pi q K_{\text{TE}}(T - T_{q\lambda}) + \varphi_f, \quad \varphi_2 = \pi(q+k) + \varphi_f, \\ \varphi_3 &= \varphi_s, \quad \varphi_4 = \pi q - \pi q K_{\text{TE}}(T - T_{q\lambda}) + \varphi_s. \end{aligned} \quad (31)$$

Формулы (31) являются искомыми. Фигурирующая в них текущая температура T моноблока ЛГ определяется выражениями (11).

Чтобы воспользоваться соотношениями (31) при моделировании динамики параметров зоны синхронизации частот ВВ рассматриваемого ЛГ, необходимо в первую очередь задать (или, точнее, рассчитать) два характерных значения параметра q . Это можно сделать с помощью формул

$$q = q_{\text{floor}} = \text{floor}(L/\lambda), \quad q = q_{\text{ceil}} = \text{ceil}(L/\lambda), \quad (32)$$

где q_{floor} и q_{ceil} – два различающихся на единицу целых значения параметра q , одно из которых в результате вычислений окажется четным/нечетным, а другое, наоборот, – нечетным/четным. (MATLAB-функция $\text{floor}(x)$ действительного аргумента x возвращает значение, округленное до ближайшего целого числа $x_1 \leq x$, в то время как функция $\text{ceil}(x)$ – значение, округленное до ближайшего целого числа $x_2 \geq x$.) Найденные значения параметра q следует затем подставить в формулы (31). Отметим, что результаты моделирования в первом и во втором случаях будут качественно разными.

Наконец, относительно параметра k в (31): его значение ($k = 0, \pm 1, \pm 2, \dots$) должно быть выбрано таким, чтобы при заданной начальной температуре T_{ini} моноблока ЛГ обеспечить выполнение двойного неравенства (13).

Таким образом, полученные в этом разделе формулы (31) для расчета величин φ_n совместно с выражениями (3), (4), (7), (8) (11), (13) и (32) образуют расчетную математическую модель, которая позволяет выполнить моделирование динамики параметров $\Omega_{(-)}$, $\Omega_{(+)}$, $\Omega_{(0)}$, Ω_s зоны синхронизации частот ВВ рассматриваемого ЛГ при его работе в режиме самопрогрева.

5. Примеры моделирования динамики полуширины зоны синхронизации частот ВВ рассматриваемого ЛГ

К сожалению, ограничения, накладываемые на объем статьи, не позволяют привести результаты моделирования динамики всех четырех параметров ($\Omega_{(-)}$, $\Omega_{(+)}$, $\Omega_{(0)}$, Ω_s) зоны синхронизации частот ВВ рассматриваемого ЛГ, причем в полном объеме, т.е. для всех возможных значений величин, фигурирующих в формулах (31). Поэтому мы рассмотрим лишь наиболее простой случай, когда встречнонаправленные управляемые смещения w зеркал Z_3 и Z_4 отсутствуют ($w = 0$), вследствие чего в (31) следует положить $\varphi_f = \varphi_s = 0$. В такой ситуации линейная связь ВВ при работе ЛГ в режиме самопрогрева будет всегда оставаться симметричной ($r_1 = r_2$) и смещение $\Omega_{(0)}$ центра зоны синхронизации частот этих волн по оси угловой скорости Ω , как это следует из (3), будет равно нулю. Таким образом, задача сведется к моделированию динамики только одного параметра зоны синхронизации – ее полуширины Ω_s .

Кроме того, с целью еще большего упрощения задачи мы ограничимся рассмотрением лишь одного случая (из двух возможных), когда при базовой температуре $T_{q\lambda}$ моноблока ЛГ на периметре осевого контура его резонатора укладывается, например, четное число длин волн λ . На основании (32) при $L = 200$ мм имеем $q_{\text{поог}} = 316055$ и $q_{\text{ceil}} = 316056$. Поэтому в (31) следует подставить $q = q_{\text{ceil}} = 316056$.

Теперь, чтобы приступить к моделированию динамики Ω_s , необходимо задать (и для удобства читателя собрать в одном месте) численные значения всех используемых в расчетах величин:

1. В формулах (3) фигурирует параметр M . Для рассматриваемого ЛГ он равен 496459.

2. В выражениях (4) фигурирует параметр α_m . Как было найдено выше, резонаторные потери Γ гироскопа составляют 400×10^{-6} . Прибор работает при пятикратном превышении усилением g потерь Γ , т.е. $g = 5\Gamma = 2000 \times 10^{-6}$. Поэтому на основании (4) с учетом $\alpha_p = 2400000 \text{ с}^{-1}$ и $h = 0.652$ имеем $\alpha_m = 505810 \text{ с}^{-1}$.

3. В соотношениях (8) величины $a_f = 1.15 \times 10^{-6}$, $a_s = 1.72 \times 10^{-6}$, $\chi_f = 461''$, $\chi_s = 652''$, $b_f = 5.91 \times 10^{-8}$, $b_s = 2.72 \times 10^{-8}$.

4. Наконец, в формулах (11), (13), (31) величины $T_{q\lambda} = 25^\circ\text{C}$, $\Delta T_\lambda = 50^\circ\text{C}$, $K_{TE} = 6.328 \times 10^{-8} \text{ 1/}^\circ\text{C}$, $\Delta T_{\text{SW}}^{\text{max}} = 7^\circ\text{C}$, $\tau_{\text{SW}} = 2400 \text{ с}$.

Результаты моделирования динамики полуширины Ω_s зоны синхронизации частот ВВ рассматриваемого ЛГ в пяти его четырехчасовых запусках при начальных температурах моноблока $T_{\text{ini}} = 5, 15, 25, 35$ и 45°C из интервала $1-50^\circ\text{C}$ приведены на рис.1. Чтобы обеспечить выполнение неравенства (13) при указанных T_{ini} , параметр k в формулах (31) был выбран равным нулю. Это означает, что во всех проведенных запусках прибор каждый раз после его включения работал на одной и той же «четной» продольной моде (поскольку ее результирующий индекс $q + k = 316056$ – четное число).

Результаты моделирования динамики Ω_s в пяти четырехчасовых запусках ЛГ при начальных температурах моноблока $T_{\text{ini}} = 55, 65, 75, 85$ и 95°C из интервала $51-100^\circ\text{C}$ представлены на рис.2. При таких величинах T_{ini} параметр k в (31) был принят равным единице. Поэтому в этих запусках гироскоп каждый раз после его включения работал на одной и той же «нечетной» продольной моде

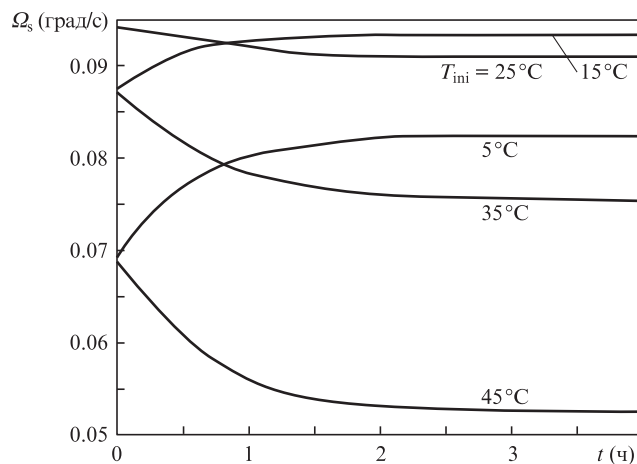


Рис.1. Результаты моделирования динамики полуширины Ω_s зоны синхронизации частот встречных волн ЛГ в пяти его четырехчасовых запусках при начальных температурах моноблока T_{ini} из интервала $1-50^\circ\text{C}$ для случая $k = 0$, $q = 316056$.

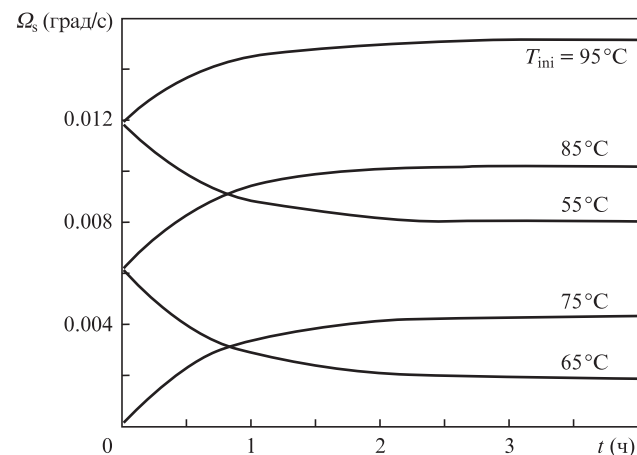


Рис.2. Результаты моделирования динамики полуширины Ω_s зоны синхронизации частот встречных волн ЛГ в пяти его четырехчасовых запусках при начальных температурах моноблока T_{ini} из интервала $51-100^\circ\text{C}$ для случая $k = 1$, $q = 316056$.

(поскольку ее результирующий индекс $q + k = 316057$ – нечетное число).

Из приведенных графиков видно, что полуширина Ω_s зоны синхронизации частот ВВ рассматриваемого ЛГ при его работе в режиме самопрогрева изменяется во времени. При этом характер динамики Ω_s определяется параметром K_{TE} , законом $T = T(t)$ возрастания температуры моноблока ЛГ и, что наиболее существенно, ее начальным значением T_{ini} в момент $t = 0$ включения прибора. Эти обстоятельства следует, по-видимому, учитывать при разработке методики экспериментальной оценки величины Ω_s на этапе паспортизации параметров ЛГ.

Результаты моделирования позволяют сделать вывод о том, что измерение полуширины Ω_s зоны синхронизации частот ВВ рассматриваемого ЛГ имеет смысл проводить в широком диапазоне температур (на управляемом одноосном поворотном стенде, находящемся в термокамере). При этом наиболее достоверной оценкой величины Ω_s следует считать ее максимальное измеренное значение. Измерения Ω_s при каждом заданном стабилизированном значении температуры воздуха в камере целесообразно начинать сразу же после включения ЛГ, не

дожидаясь окончания протекающих в нем тепловых переходных процессов.

6. Заключение

В настоящей работе для ЛГ с четырехзеркальным квадратным резонатором получены формулы (31), которые совместно с выражениями (3), (4), (7), (8) (11), (13) и (32) образуют расчетную математическую модель, позволяющую смоделировать поведение во времени параметров зоны синхронизации частот ВВ в ситуации, когда прибор работает в режиме самопрогрева, причем его включение осуществляется при разных начальных температурах.

1. Chow W.W., Gea-Banacloche J., Pedrotti L.M., Sanders V.E., Schleich W., Scully M.O. *Rev. Mod. Phys.*, **57**, 61 (1985).
2. Wilkinson J.R. *Prog. Quantum Electron.*, **11**, 1 (1987).
3. Aronowitz F., in *Optical Gyros and their Application* (Neuilly-sur-Seine, France, RTO AGARDograph 339, 1999, p. 3-1).
4. Menegozzi L.N., Lamb W.E. Jr. *Phys. Rev.*, **8**, A2103 (1973).
5. Бондаренко Е.А. *Квантовая электроника*, **41**, 824 (2011).
6. Ланда П.С., Ларионцев Е.Г. *Радиотехника и электроника*, **15**, 1214 (1970).
7. Андропова И.А., Берштейн И.Л. *Изв. вузов. Сер. Радиофизика*, **14**, 698 (1971).
8. Ланда П.С. *Оптика и спектроскопия*, **32**, 383 (1972).
9. Зейгер С.Г., Климонтович Ю.Л., Ланда П.С., Ларионцев Е.Г., Фрадкин Э.Е. *Волновые и флуктуационные процессы в лазерах* (М.: Наука, 1974).
10. Ланда П.С. *Автоколебания в системах с конечным числом степеней свободы* (М.: Наука, 1980).
11. Rodloff R. *IEEE J. Quantum Electron.*, **QE-23**, 438 (1987).
12. Хромых А.М. *Электронная техника. Сер. Лазерная техника и оптоэлектроника*, вып. 2 (54), 44 (1990).
13. Азарова В.В., Голяев Ю.Д., Дмитриев В.Г. *Квантовая электроника*, **30**, 96 (2000).
14. Бирман А.Я., Петрухин Е.А., Савушкин А.Ф. *Квантовая электроника*, **6**, 2626 (1979).
15. Астахов К.В., Голяев Ю.Д., Махин П.В., Мельников А.В., Тихменев Н.В. *Гироскопия и навигация*, №2 (9), 25 (1995).
16. Астахов К.В., Батоврин В.К., Голяев Ю.Д., Дроздов М.С., Мельников А.В. *Гироскопия и навигация*, №4 (11), 24 (1995).
17. Астахов К.В., Батоврин В.К., Голяев Ю.Д., Дроздов М.С., Мельников А.В., Тихменев Н.В., Яснов С.А. *Труды IV Санкт-Петербургской междунар. конф. по интегрированным навигационным системам* (С.-Петербург, 1997, с. 146–152).
18. Астахов К.В., Батоврин В.К., Мельников А.В., Голяев Ю.Д., Тихменев Н.В. *Приборы и системы управления*, №3, 15 (1997).
19. Астахов К.В., Батоврин В.К., Голяев Ю.Д., Дроздов М.С., Мельников А.В., Тихменев Н.В. *Труды V Санкт-Петербургской междунар. конф. по интегрированным навигационным системам* (С.-Петербург, 1998, с. 194–200).
20. Молчанов А.В., Морозов Д.А., Степанов А.Ю., Чиркин М.В. *Труды XIV Санкт-Петербургской междунар. конф. по интегрированным навигационным системам* (С.-Петербург, 2007, с. 38–40).
21. Васин И.А., Молчанов А.В., Морозов Д.А., Чиркин М.В. *Труды XV Санкт-Петербургской междунар. конф. по интегрированным навигационным системам* (С.-Петербург, 2008, с. 68–70).
22. Молчанов А.В., Степанов А.Ю., Чиркин М.В. *Авиакосмическое приборостроение*, №3, 9 (2008).
23. Бондаренко Е.А. *Квантовая электроника*, **42**, 465 (2012).
24. Ищенко Е.Ф. *ЖПС*, **11**, 456 (1969).
25. Ищенко Е.Ф. *Открытые оптические резонаторы* (М.: Сов. радио, 1980).
26. Bondarenko E.A., in *Mechanics of Gyroscopic Systems* (Kiev, KPI, 2010, Issue 22, pp 22–32).
27. Бондаренко Е.А. *Квантовая электроника*, **19**, 171 (1992).